

# **UTJECAJ VRSTE PREKURSORA NA KRISTALIZACIJSKO PONAŠANJE PRED-KORDIJERITNIH PRAŠAKA PRIPRAVLJENIH SOL-GEL METODOM**

## **EFFECT OF PRECURSORS NATURE ON THE CRYSTALLIZATION BEHAVIOUR OF SOL-GEL DERIVED PRE-CORDIERITE POWDERS**

**Jelena Macan, Hrvoje Ivanković, Marica Ivanković**

Fakultet kemiskog inženjerstva i tehnologije

Marulićev trg 19, HR-10000 Zagreb

**Sažetak:** Istraživana je mogućnost priprave pre-kordijeritnih prašaka stehiometrijskog sastava ( $Mg_2Al_4Si_5O_8$ ) iz različitih prekursora sol-gel postupkom. Pripravljeno je šest različitih gelova. Praćen je utjecaj prirode prekursora na kristalizacijsko ponašanje pre-kordijeritnih prašaka. U tu svrhu korištene su diferencijalna pretražna kalorimetrija (DSC), termogravimetrijska analiza (TGA) i rendgenska difrakcijska analiza (XRD). Analizom dobivenih rezultata ustanovljeno je da korištenje različitih prekursora znatno utječe na kristalizacijsko ponašanje dobivenih kordijeritnih gelova.

**Ključne riječi:** sol-gel, kordijerit, različiti prekursori

**Abstract:** Possibility of sol-gel synthesis of stoichiometric pre-cordierite powders ( $Mg_2Al_4Si_5O_8$ ) from various precursors was investigated. Six different gels were prepared. The influence of precursors nature on the crystallization behaviour of pre-cordierite powders was studied by differential scanning calorimetry (DSC), thermogravimetric analysis (TGA) and X-ray diffraction analysis (XRD). Obtained results show that different nature of the precursors significantly influences crystallization behaviour of the cordierite gels.

**Key words:** sol-gel, cordierite, various precursors

## 1. UVOD

Kordijerit ( $2\text{MgO}\cdot2\text{Al}_2\text{O}_3\cdot5\text{SiO}_2$ ) posjeduje čitav niz fizikalno-kemijskih svojstava, kao što su mala dielektrična konstanta, mali koeficijent linearog toplinskog rastezanja te velika toplinska i kemijska stabilnost, koje ga čine vrlo zanimljivim i široko primjenjivim keramičkim materijalom. Da bi se ostvarila ta svojstva, potrebno je pripraviti vrlo čistu i homogenu keramiku gotovo teorijske gustoće. Zbog vrlo uskog temperaturnog intervala sinteriranja, koji se nalazi  $\sim 25^\circ\text{C}$  ispod točke inkongruentnog taljenja ( $1460^\circ\text{C}$ ), praktički je nemoguće pripraviti keramiku spomenutih karakteristika tradicionalnim načinima priprave. Stoga se posljednjih godina intenzivno istražuju kemijske metode priprave vrlo homogenih pre-kordijeritnih prašaka, pri čemu je najviše pozornosti privukla sol-gel metoda. Prednost te metode je što omogućuje kontrolu razine homogenosti dobivenih prašaka u rasponu dimenzija od molekularne do nekoliko desetaka nanometara. Ciljanim "krojenjem" homogenosti pre-kordijeritnih prašaka moguće je sniziti temperaturu sinteriranja kako bi se proces zgušnjavanja odvijao prije kristalizacije, čime se omogućuje dizajniranje i bolja kontrola mikrostrukture keramičkog produkta, a time i njegovih svojstava.

Sol-gel metoda može koristiti različite ishodne materijale: koloidne suspenzije, topljive soli i metalne alkoksida [1], a sam pojam dosta je širok i obuhvaća različite tehnike priprave. Do geliranja sustava dolazi reakcijama hidrolize i kondenzacije alkoksida prekursora (obično silicija), uz kiselinu ili bazu kao katalizator [2]. U slučaju priprave kordijeritnih prašaka metodom hidrolize i kondenzacije kad se kao aluminijski i silicijski prekursori koriste njihovi alkoksidi, razlike u brzini njihove hidrolize i kondenzacije mogu izazvati segregaciju u sustavu, posljedica koje su viša temperatura kristalizacije kordijerita i pojava neželjenih kristalnih faza [3,4]. Te razlike mogu se smanjiti vezanjem aluminijskog alkoksida u kompleks [5], čime se usporava njegova kondenzacija.

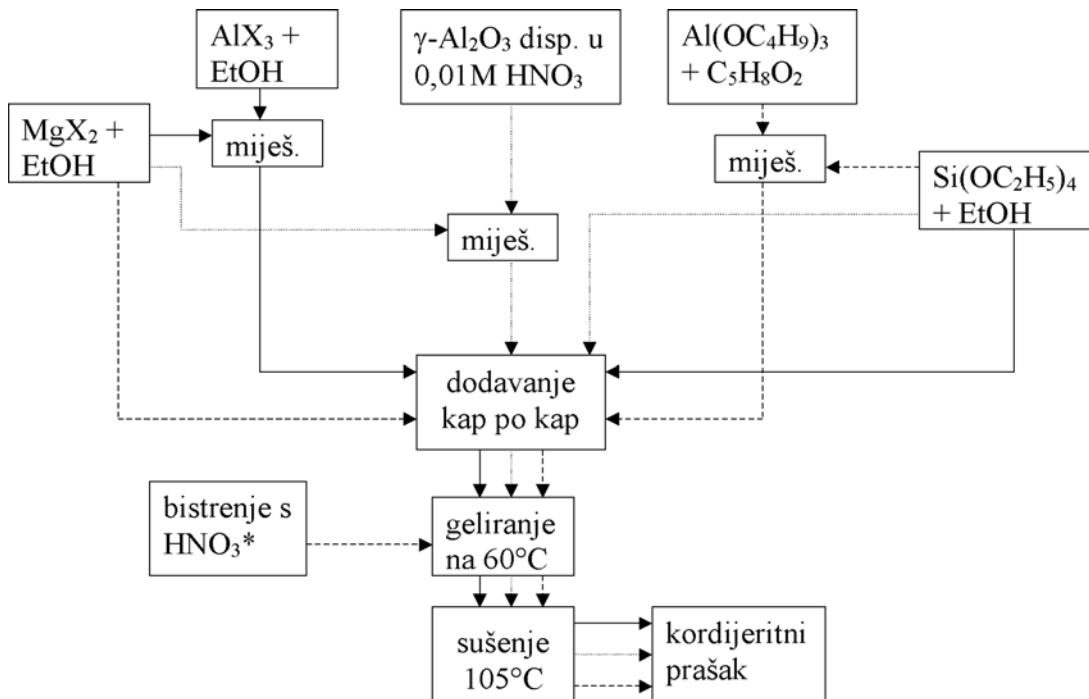
Cilj ovog rada je pripraviti gelove stehiometrijskog kordijeritnog sastava ( $\text{Mg:Al:Si} = 2:4:5$ ) upotrebom različitih prekursora radi ispitivanja utjecaja njihove prirode na kristalizacijsko ponašanje dobivenih prašaka.

## 2. EKSPERIMENTALNI DIO

Koristeći različite prekursore, sol-gel metodom pripravljeno je šest kordijeritnih gelova. Pregled korištenih prekursora dan je u tablici 1., a shema priprave pojedinih gelova na slici 1. Da bi se spriječilo naglo taloženje aluminijskog hidroksida dodavanjem otopine magnezijске soli, aluminijski alkoxid prethodno je vezan u kompleks s

Tablica 1. Pregled prekursora za sol-gel sintezu (\* sol bistren dokapavanjem  $\text{HNO}_3$ )

Uzorak	Si-prekursor	Al-prekursor	Mg-prekursor
A	$\text{Si}(\text{OC}_2\text{H}_5)_4$	$\text{Al}(\text{NO}_3)_3\cdot9\text{H}_2\text{O}$	$\text{Mg}(\text{NO}_3)_2\cdot6\text{H}_2\text{O}$
B	$\text{Si}(\text{OC}_2\text{H}_5)_4$	$\text{AlCl}_3\cdot6\text{H}_2\text{O}$	$\text{MgCl}_2\cdot6\text{H}_2\text{O}$
C	$\text{Si}(\text{OC}_2\text{H}_5)_4$	$\gamma\text{-Al}_2\text{O}_3$	$\text{Mg}(\text{NO}_3)_2\cdot6\text{H}_2\text{O}$
D	$\text{Si}(\text{OC}_2\text{H}_5)_4$	$\text{Al}[\text{O}(\text{CH}_3)\text{CHC}_2\text{H}_5]_3$	$\text{Mg}(\text{NO}_3)_2\cdot6\text{H}_2\text{O}$
E F*	$\text{Si}(\text{OC}_2\text{H}_5)_4$	$\text{Al}[\text{O}(\text{CH}_3)\text{CHC}_2\text{H}_5]_3$	$\text{Mg}(\text{OOCCH}_3)_2\cdot4\text{H}_2\text{O}$



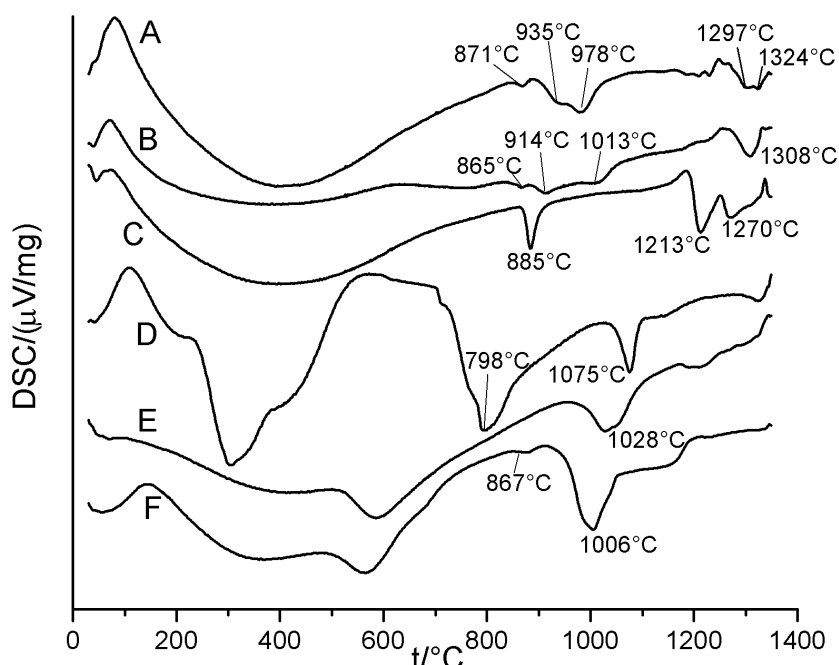
*Slika 1.* Shema priprave kordijeritnih prašaka iz navedenih prekursora  
( $MgX_2$ ,  $AlX_3$  – odgovarajuće soli)

etilacetatoacetatom. Prilikom dokapavanja otopine  $Mg(CH_3COO)_2$  u smjesu alkoksida došlo je do zamućenja otopine, vjerojatno zbog promjene pH sredine. Zamućeni uzorak podijeljen je na dva dijela (E i F), od kojih je jedan bistren s  $HNO_3$  (F). Prema vrsti aluminijskog prekursora pripravljeni gelovi mogu se podijeliti u tri tipa: iz otopina anorganskih soli (A i B), iz disperzije oksida (C) i iz alkoksida (D-F). Pripravljeni gelovi zatim su sušeni na  $105^\circ C$  i kalcinirani na  $200^\circ C$  (D),  $400^\circ C$  (E, F) ili  $600^\circ C$  (A-C) 2h radi uklanjanja zaostalih nitrata, klorida i organskih komponenti, pri čemu je odabrana temperatura na kojoj još ne dolazi do kristalizacije. Kristalizacijsko ponašanje kordijeritnih prašaka sušenih na  $105^\circ C$  kao i prethodno kalciniranih prašaka istraživano je simultanom diferencijalnom pretražnom kalorimetrijom (DSC) i termogravimetrijskom analizom (TGA), instrumentom Netzsch (STA 409) u atmosferi zraka i stalnu brzinu zagrijavanja od 10 K/min. Izotermna termička obrada pripremljenih pre-kordijeritnih prašaka provedena je u laboratorijskoj električnoj peći u atmosferi zraka, u temperaturnom području  $800\text{-}1350^\circ C$  s brzinom zagrijavanja od 10 K/min i zadrškom od 2h na maksimalnim temperaturama. Određivanje kristalnih faza u izotermno obrađenim uzorcima provedeno je rendgenskom difrakcijskom analizom (XRD) uređajem PHILIPS PW 1010 s okomitim goniometrom i proporcionalnim brojačem, uz primjenu  $CuK\alpha$  zračenja i grafitnog monokromatora. Identifikacija kristalnih faza provedena je uspoređivanjem vrijednosti međuplošnih razmaka  $d_{hkl}$  s podacima iz JCPDS datoteke.

### 3. REZULTATI I RASPRAVA

Homogenost gelova, a time i njihovo kristalizacijsko ponašanje tijekom termičke obrade, ovisno je o vrsti upotrebljenih prekursora. Kordijerit se javlja u tri polimorfne modifikacije: kao metastabilni  $\mu$ -kordijerit strukturno analogan  $\beta$ -kvarcu, te stabilni  $\beta$ -i

$\alpha$ -kordijerit [6]. Uređeni ortorombski niskotemperaturni  $\beta$ -kordijerit stabilan je ispod 1450°C, a neuređeni heksagonalni visokotemperaturni  $\alpha$ -kordijerit (indijalit) stabilan je između 1450°C i 1460°C, kada se počinje taliti. Osim stehiometrijskih, mogu se pojaviti i nestehiometrijski sastavi kordijerita [7], bogatiji na MgO i SiO<sub>2</sub>, što stabilizira  $\beta$ -oblik.  $\mu$ -kordijeritna faza javlja se u širokom području čvrstih otopina sastava MgO·Al<sub>2</sub>O<sub>3</sub>·XSiO<sub>2</sub> (X = 2-10), i uobičajena je pri kristalizaciji kordijeritne keramike ispod 1000°C, dok na višim temperaturama prelazi u  $\alpha$ -oblik. Kristalizacijsko ponašanje pripravljenih prašaka jasno se vidi iz DSC krivulja na slici 2.

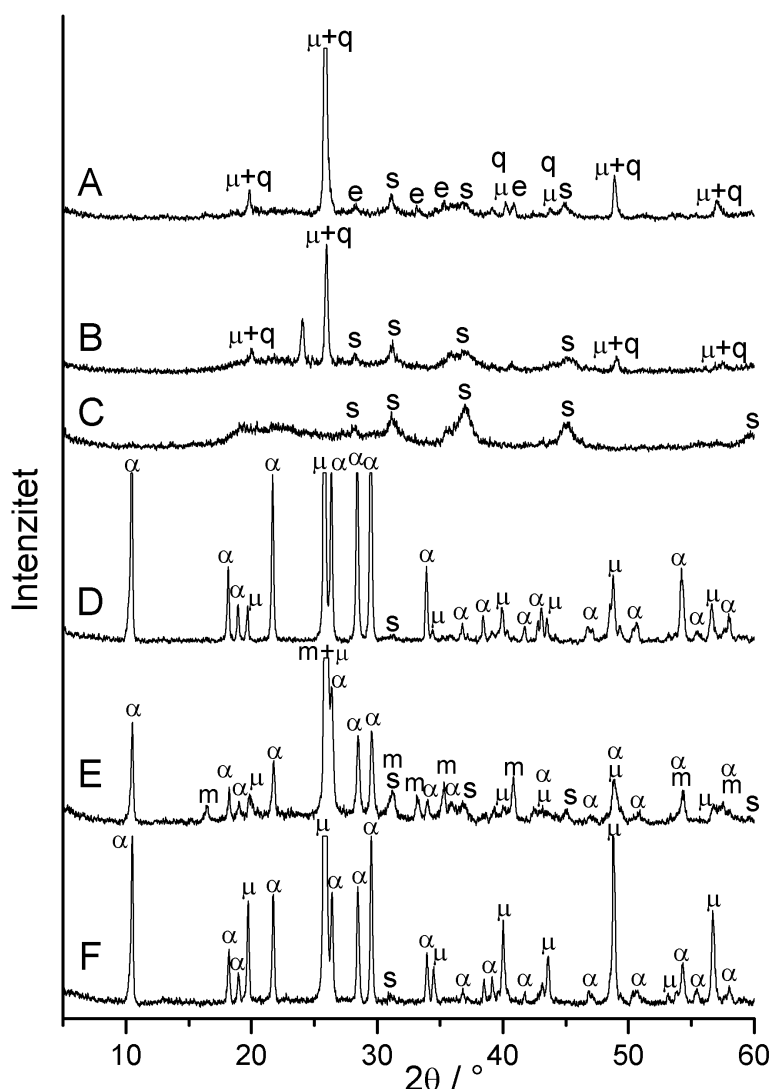


Slika 2. DSC krivulje uzorka prethodno kalciniranih na 200°C (D), 400°C (E, F) ili 600°C (A-C)

Prvi egzotermni maksimum, koji se javlja kod svih uzorka osim E u intervalu 795-885°C, u literaturi se dvojako tumači: jedni autori pripisuju ga kristalizaciji  $\mu$ -kordijerita [8], a drugi kristalizaciji čvrste otopine  $\beta$ -kvarca koja se kasnije (~1000°C) transformira u  $\mu$ -kordijerit [9]. Budući da su  $\mu$ -kordijerit i čvrsta otopina  $\beta$ -kvarca strukturno vrlo slične, teško ih je rendgenski razlikovati, pa obje ove tvrdnje mogu biti točne. DSC krivulje uzorka A i B upravo odgovaraju primjeru kojeg navode Pal i sur. [9], gdje od tri egzotermna maksima koji se javljaju u intervalu 865-1013°C prvi odgovara kristalizaciji čvrste otopine  $\beta$ -kvarca, drugi kristalizaciji spinela (MgAl<sub>2</sub>O<sub>4</sub>), a treći transformaciji čvrste otopine  $\beta$ -kvarca u  $\mu$ -kordijerit. Nastali  $\mu$ -kordijerit transformira se u  $\alpha$ -kordijerit pri ~1300°C. Egzotermni maksimum koji karakterizira ovu reakciju sastoji se od dva slabije (A: 1297°C i 1324°C) ili jače (B: 1308°C) preklapljenih maksimuma, što navodi na pretpostavku da  $\alpha$ -kordijerit nastaje ili u dva stupnja (preko međufaze) ili iz dva  $\mu$ -kordijerita različite veličine čestica. Difrakcijske slike ovih uzorka ne otkrivaju da se radi o dvije različite faze.

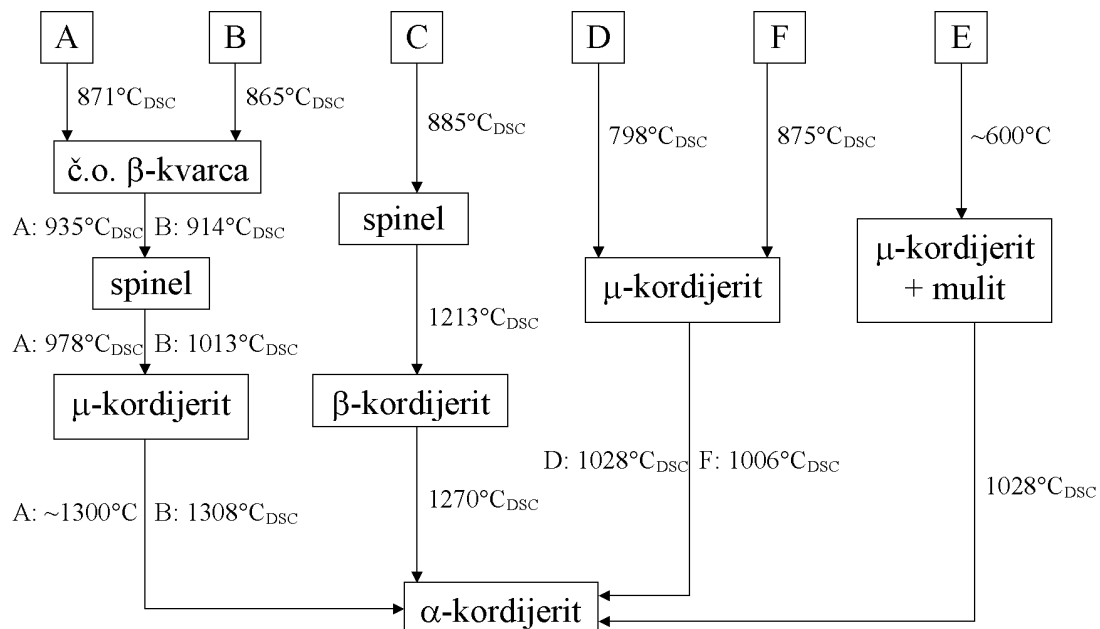
Kod uzorka C, čiji je aluminijski prekursor  $\gamma$ -Al<sub>2</sub>O<sub>3</sub> prašak nanometarske veličine čestica (~20 nm), egzotermni maksimum na 885°C odgovara kristalizaciji spinela, koji na višoj temperaturi reagira s preostalom amorfnom fazom i kod 1213°C prelazi u

$\beta$ -kordijerit, koji se kasnije (kod 1270°C) transformira u  $\alpha$ -kordijerit. DSC krivulje uzoraka D-F, koje kao aluminijski prekursor imaju aluminijski tri-sek-butoksid, odgovaraju pak primjeru koje opisuju Chen i sur. [8]. Prvi egzotermni maksimum (D: 798°C, F: 875°C) može se objasniti samo kristalizacijom  $\mu$ -kordijerita koji se transformira direktno u  $\alpha$ -kordijerit iznad 1000°C (D i E: 1028°C, F: 1006°C). Izravnija kristalizacija ovih pre-kordijeritnih prašaka može se objasniti njihovom većom homogenošću. Ponešto složeniji kristalizacijski put uzorka E, koji kristalizira preko smjese  $\mu$ -kordijerita i mulita ( $3\text{Al}_2\text{O}_3 \cdot 2\text{SiO}_2$ ), posljedica je njegove niže razine homogenosti. Naime, u lužnatoj sredini aluminij stvara kompleksne hidrokside koji utječu na smanjenje razine homogenosti sola, a što se manifestiralo i u izgledu pripravljenog sola.



Slika 3. Difraktogrami svih uzoraka prethodno žarenih na 950°C/2h ( $\alpha$  –  $\alpha$ -kordijerit,  $\mu$  –  $\mu$ -kordijerit, s – spinel, m – mulit, e – enstatit ( $\text{MgSiO}_3$ ), q – čvrsta otopina  $\beta$ -kvarca)

Slika 3. daje usporedbu difraktograma svih šest uzoraka prethodno žarenih 2 sata na 950°C, dok je tok kristalizacije shematski prikazan na slici 4.



Slika 4. Shematski prikaz toka kristalizacije  $\alpha$ -kordijerita za svih 6 uzoraka

#### 4. ZAKLJUČAK

Ovisno o tipu prekursora razlikuju se tri puta kristalizacije. Uzorci pripravljeni iz otopina aluminijskih soli (A i B) kristaliziraju u  $\alpha$ -kordijerit preko čvrste otopine  $\beta$ -kvarca, spinela i  $\mu$ -kordijerita. Uzorak pripravljen iz  $\gamma$ -Al<sub>2</sub>O<sub>3</sub> praška (C), i stoga najmanjeg stupnja homogenosti, prvo prelazi u spinel, a pri višim temperaturama u  $\beta$ - i zatim u  $\alpha$ -kordijerit. Uzorci pripravljeni iz aluminijskog alkoksida (D-F) zbog svoje velike homogenosti prelaze u  $\alpha$ -kordijerit iz  $\mu$ -kordijerita već na relativno niskim temperaturama (~1000°C). Dobiveni rezultati pokazuju da se uporabom različitih prekursora može utjecati na strukturu gelova, odnosno na njihovo kristalizacijsko ponašanje.

#### 5. LITERATURA

- Chen, Y. F., Vilminot, S.: J. Sol-Gel Sci. Tech., **5** (1995) 41-47
- Yasumori, A., Yamane, M., Kawaguchi, T.: Ultrastructure Processing of Advanced Ceramics, Hrsg.: Mackenzie, J. D., Ulrich, D. R., John Wiley & Sons, New York, 1988, 355
- Oh, J. R., Imai, H., Hirashima, H.: J. Ceram. Soc. Japan, **105** [1] (1997) 43-47
- Saha, S. K., Pramanik, P.: J. Mater. Sci., **30** (1995) 2855-2858
- Einarsrud, M.-A., Pedersen, S., Larsen, E., Grande, T.: J. European Ceram. Soc., **19** (1999) 389-397
- El Chahal, L., Werckmann, J., Pourroy, G., Esnouf, C.: J. Crystal Growth, **156** (1995) 99-107
- Ebadzadeh, T., Lee, W.E.: J. European Ceram. Soc., **18** (1998) 837-848
- Chen, Y. F., Rabu, P., Pourroy, G., Vilminot, S.: European Journal of Solid State Inorganic Chemistry, **32** (1995) 1065-1076
- Pal, D., Chakraborty, A. K., Sen, S., Sen, S. K.: J. Mater. Sci., **31** (1996) 3995-4005